

IOF819 - Modelos da Circulação Oceânica em Larga Escala

Prof. Dr. Edmo J. D. Campos

2o. Trimestre de 2006

Programa:

1. Introdução

2. Revisão de Conceitos Relevantes:

- ✓ • Equação Dinâmica Básica
- ✓ • Forças que atuam no oceano
- ✓ • Atrito ou viscosidade em fluidos
- LISTA ① {
 - Conceito da Cascata de Energia
 - Viscosidade Turbulenta
 - Tensões de Reynolds

- ✓ • Dinâmica de Ekman

Espiral e o Transporte de Ekman na Camada de Fundo

- LISTA ② {
 - Camada de superfície
 - A velocidade no topo da camada de Ekman
 - O transporte de Ekman e a direção do vento
 - O bombeamento de Ekman

- ✓ • A Camada de Mistura Oceânica

3. Modelos Homogêneos da Circulação Oceânica

- ✓ • Equações Primitivas
- ✓ • Análise de Escala
- ✓ • Modelos lineares Clássicos
 - ✓ Regime de Sverdrup
 - ✓ O modelo de Stommel
 - ✓ O modelo de Munk
- Modelos não-lineares
 - O modelo de Fofonoff
 - O Modelo de Charney
 - O Modelo Viscoso-Inercial de Moore
- Modelos da Termoclina
 - Teorias Clássicas da Termoclina
 - Modelo de Camadas para a Termoclina
 - A termoclina ventilada

- Circulação do Oceano Profundo

O Modelo de Stommel & Arons → LISTA (3)

O modelo de Kuo & Veronis → LISTA (4)

4. A Circulação Termohalina Global e a Célula Meridional do Atlântico

5. Circulação do Atlântico Tropical

- Aspectos Gerais
- A ZCIT, os ventos alísios e a Retroflexão da CNB
- A Sub-Corrente Equatorial e a Célula Meridional Rasa

Avaliação:

Listas 30%

Prova Parcial 30%

Prova Final 40 %

prof. Edmo Campos

Neste Curso

1) Força associada à gradientes de pressão

$$p = p(x, y, z, t)$$

$$\vec{F}_{gp} = - \nabla p \cdot dx \cdot dy \cdot dz$$

2) Força devido à atrito

3) Força gravitacional = $m\vec{g}$

4) Marés → Não nos interessa nesse curso

5) Força de Coriolis → efeito da rotação do planeta.

$$m \cdot (\hat{k} \times \vec{v}) \cdot f \quad f = 2\Omega \sin \theta$$

$$\text{componente } x = -fv \cdot m$$

$$\text{componente } y = fu \cdot m$$

$$\frac{\partial m\vec{v}}{\partial t} + \vec{v} \cdot (\nabla m\vec{v}) + m\hat{k} \times \vec{v} \cdot f = - \nabla p \cdot dx \cdot dy \cdot dz + m\vec{g} + \vec{f}_a$$

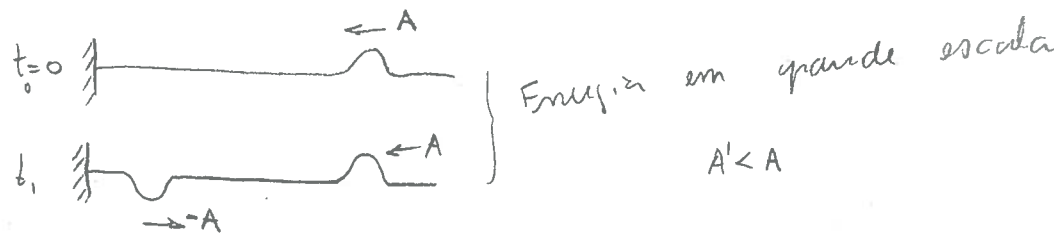
volume unitário, densidade constante

$$\frac{\partial \vec{v}}{\partial t} + \vec{v} \cdot \nabla \vec{v} - \hat{k} \times f\vec{v} = -\frac{1}{\rho} \nabla p + \vec{g} + \cancel{\frac{1}{\rho} \vec{f}_a} \quad \text{p/ grande escala}$$

Viscosidade (Atrito) em Fluido → fenômeno que ocorre em escala molecular

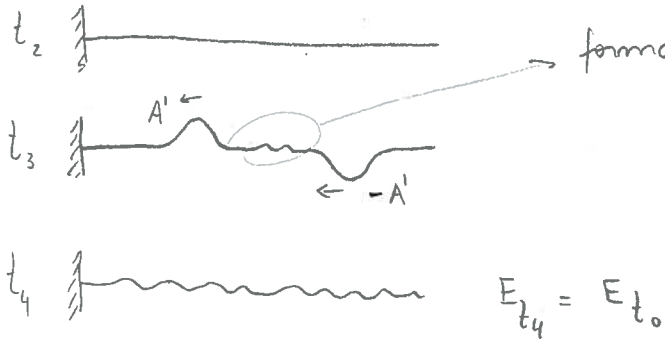
⇒ Apesar de existir uma forma para o atrito ou viscosidade de um fluido Newtoniano, com a água, ela expressa não pode ser usada na equação do momentum para o estudo de fenômenos em grande escala.

$\vec{v} \cdot \nabla \vec{v} \rightarrow$ termo não-linear



forma não-linear dos processos naturais

A energia se mantém constante



Energia em escala molecular

Este processo chama-se: CASCATA DE ENERGIA

Problema: é necessário achar um termo para o Atrito

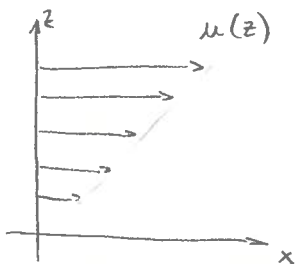
TENSÕES DE REYNOLDS

$$\vec{v} = (u, v, w)$$

Exercício \rightarrow LISTA N° 01

①

(a) Mostrar que para cisalhamento vertical de velocidade, conforme indicado na figura abaixo, a tensão de cisalhamento vertical na direção x , é dada por $\tau_{xz} = A_z \frac{\partial u}{\partial z}$



(b) Por extensão, ^{mostramos} o tensor de tensões total num elemento de fluido é representado por:

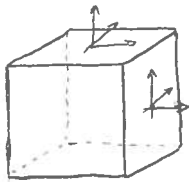
$$\tau_{ij} = \left(-p + A_i \frac{\partial u_i}{\partial x_i} + A_j \frac{\partial u_i}{\partial x_j} \right) \delta_{ij} + \left(A_i \frac{\partial u_i}{\partial x_i} + A_j \frac{\partial u_i}{\partial x_j} \right) (1 - \delta_{ij})$$

(c) Finalmente, para um fluido incompressível, assumindo que $A_x = A_y = A_H$ e $A_z = A_V$, mostre que a força de atrito pode ser representada por:

A_H e A_V : coeficientes de viscosidade turbulenta

$$f_i = \frac{1}{\rho} A_H \nabla_H^2 u_i + \frac{1}{\rho} A_V \frac{\partial^2 u_i}{\partial z^2}$$

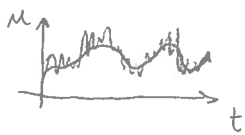
Breve explicações



$$\tau_{ij} = \begin{bmatrix} \tau_{11} & \tau_{21} & \tau_{31} \\ \tau_{12} & \tau_{22} & \tau_{32} \\ \tau_{13} & \tau_{23} & \tau_{33} \end{bmatrix}$$

Como determinar os coef. de visc. turbulenta?

(2) (Tensões de Reynolds)



valor médio (linha menos ruidosa)
(linha ruidosa)

Podemos assumir que $u = \langle u \rangle + u'$

Problema: assumir que todas as variáveis possam ser escritas como a soma de um valor médio e uma anomalia:

$$\left. \begin{aligned} \vec{v} &= \langle \vec{v} \rangle + \vec{v}' \\ p &= \langle p \rangle + p' \end{aligned} \right\} \text{substituir nas 3 componentes da eq. do movimento e mostrar que:}$$

$$-\frac{\partial}{\partial x} \langle u'u' \rangle = \frac{1}{\rho} \frac{\partial}{\partial x} (\tau_{xx})$$

$$-\frac{\partial}{\partial y} \langle u'v' \rangle = \frac{1}{\rho} \frac{\partial}{\partial y} (\tau_{yx})$$

⋮

$$-\frac{\partial}{\partial z} \langle w'w' \rangle = -\frac{1}{\rho} \frac{\partial}{\partial z} (\tau_{zz})$$

consultar pg 7 a 15 da apostila (3)

29/06/2006

$$\begin{cases} \frac{d\vec{v}}{dt} + (\vec{v} \cdot \nabla) \vec{v} + f \vec{k} \times \vec{v} = -\frac{1}{\rho} \nabla p + \vec{g} + \frac{A_H}{\rho} \nabla^2 \vec{v} + \frac{A_V}{\rho} \frac{\partial^2 \vec{v}}{\partial z^2} \\ \frac{\partial u}{\partial x} + \frac{\partial v}{\partial y} + \frac{\partial w}{\partial z} = 0 \end{cases}$$

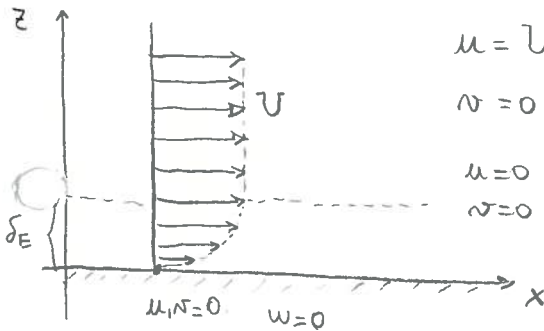
equações de Navier Stokes com rotinas

4 variáveis: u, v, w, p e 4 equações

DINÂMICA DE ERMAN

pg 16 na apostila

Problema



$$\begin{cases} u=U \\ v=0 \end{cases} \quad z \rightarrow \infty$$

$$\begin{cases} u=0 \\ v=0 \end{cases} \quad z \rightarrow 0$$

condições de contorno

aproximações: $\rho = \text{cte}$

- Equações linearizadas
- atrito horizontal insignificante
- estacionário $\frac{\partial}{\partial t} = 0$
- fundo plano

As eq. estão podem ser escritas, já separadas por componentes:

$$(x) -f v = -\frac{1}{\rho} \frac{\partial p}{\partial x} + \frac{A_V}{\rho} \frac{\partial^2 u}{\partial z^2}$$

$$(y) f u = -\frac{1}{\rho} \frac{\partial p}{\partial y} + \frac{A_V}{\rho} \frac{\partial^2 v}{\partial z^2}$$

$$(z) 0 = -\frac{1}{\rho} \frac{\partial p}{\partial z} - g + \frac{A_V}{\rho} \frac{\partial^2 w}{\partial z^2}$$

$$\frac{\partial u}{\partial x} + \frac{\partial v}{\partial y} + \frac{\partial w}{\partial z} = 0$$

é possível demonstrar que fazendo a derivada segunda das equações que $\frac{\partial w}{\partial z} = 0$ está $w = \text{cte}$ + cond de contorno $\Rightarrow w=0$ em $\forall z$, então as equações podem ser ainda mais reduzidas

$$g = \frac{1}{\rho} \frac{\partial p}{\partial z} \quad (\text{eq. hidrostática})$$

(4)

Pode ser mostrado também que $\frac{\partial p}{\partial x}, \frac{\partial p}{\partial y}$ são constantes na coluna de água.

Isso nos permite escrever:
$$\begin{cases} u = \tilde{u} + U \\ v = \tilde{v} + 0 \end{cases}$$

$$\left. \begin{aligned} -f\tilde{u} &= \frac{A_v}{\rho} \frac{\partial^2 \tilde{u}}{\partial z^2} \\ f\tilde{v} &= \frac{A_v}{\rho} \frac{\partial^2 \tilde{v}}{\partial z^2} \end{aligned} \right\} \begin{array}{l} \text{não-gradiente} \\ z \rightarrow 0 \end{array} \quad \text{ou} \quad \left. \begin{aligned} f\tilde{u} &= \frac{1}{\rho} \frac{\partial p}{\partial y} \\ -f\tilde{v} &= \frac{1}{\rho} \frac{\partial p}{\partial x} \end{aligned} \right\} \begin{array}{l} \text{gradiente} \\ z \rightarrow \infty \end{array}$$

$$\begin{cases} \tilde{u} = \tilde{u}(z) \\ \tilde{v} = \tilde{v}(z) \end{cases} \left\{ \frac{\partial}{\partial z} \Leftrightarrow \frac{d}{dz} \right.$$

coef. dinâmico de viscosidade turbulenta (\hat{A})

$$\hat{A}_v = \frac{A_v}{\rho} \rightarrow \text{coef. cinemático}$$

$$\left. \begin{aligned} (1) -f\tilde{v} &= \frac{A_v}{\rho} \frac{d^2 \tilde{v}}{dz^2} \\ (2) f\tilde{u} &= \frac{A_v}{\rho} \frac{d^2 \tilde{u}}{dz^2} \end{aligned} \right\} \begin{array}{l} \text{sistema de} \\ 2 \text{ eq. diferenciais ordinárias de } 2^{\text{a}} \text{ ordem} \end{array}$$

$$\Rightarrow \text{subst. em (2)} \Rightarrow f\tilde{u} = \frac{A_v}{\rho} \left[-\frac{1}{f} \frac{A_v}{\rho} \frac{d^4 \tilde{u}}{dz^4} \right]$$

$$\frac{d^2(1)}{dz^2} \Rightarrow -f \frac{d^2 \tilde{v}}{dz^2} = \frac{A_v}{\rho} \frac{d^4 \tilde{u}}{dz^4}$$

$$\frac{d^4 \tilde{u}}{dz^4} + \frac{f^2}{\hat{A}_v^2} \tilde{u} = 0 \Rightarrow \text{solução} \Rightarrow \tilde{u}(z) = c_1 e^{(1+i)z/\delta_E} + c_2 e^{(1-i)z/\delta_E} + c_3 e^{-(1+i)z/\delta_E} + c_4 e^{-(1-i)z/\delta_E}$$

$$\delta_E = \sqrt{\frac{A_v}{\frac{f}{2}}}$$

c.c.1

$$\rho/z \rightarrow \infty, \tilde{u} = 0 \Rightarrow c_1 = c_2 = 0$$

c.c.2

$$\rho/z \rightarrow 0, \tilde{u} = 0 \Rightarrow c_3 + c_4 = 0 \Rightarrow c_3 = -c_4$$

$$\tilde{u}(z) = c_3 \left[e^{-(1+i)z/\delta_E} - e^{-(1-i)z/\delta_E} \right] \rightarrow \text{fazer em casa o mesmo para } \tilde{v}$$

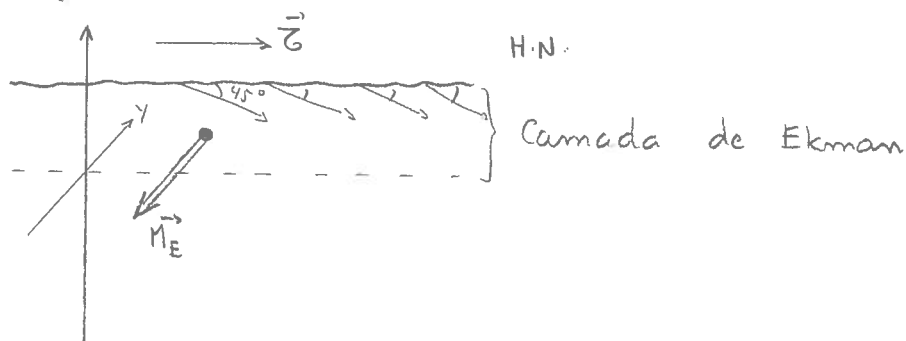
haverá outra relação entre c_3 e c_4 e o valor encontrado é $-\frac{\tilde{u}}{2}$

$$\text{Solução: } \begin{cases} \tilde{u} = U \left[1 - e^{-z/\delta_E} \cos(z/\delta_E) \right] \\ \tilde{v} = U \cdot e^{-z/\delta_E} \sin(z/\delta_E) \end{cases}$$

04/07/2006

Ver apostila com observações anotadas (páginas 21-24)

Exercício N°2: Desenvolva a teoria da Camada de Ekman de Superfície



- Reproduzir a apostila comentando as parágrafos e desenhando as partes que foram omitidas.

Mostre que:

- 1) A velocidade na superfície do oceano é orientada a 45° da direção de \vec{G} ; à esquerda no H.S. e à direita no H.N.
- 2) Mostre que o Transporte de Ekman é perpendicular a \vec{G} ; à direita no H.N. e à esquerda no H.S.
- 3) Mostre que o bombeamento de Ekman no fundo da camada é dado por

$$w_E = \frac{\hat{k} \cdot \nabla \times \vec{G}}{\rho f}$$

pg 29 à 36 da apostila

Equações primitivas

$$\begin{cases} \frac{\partial \vec{v}}{\partial t} + (\vec{v} \cdot \nabla) \vec{v} + f \vec{k} \times \vec{v} = -\frac{1}{\rho} \nabla p + \vec{g} + \frac{1}{\rho} \left[A_H \left(\frac{\partial^2}{\partial x^2} + \frac{\partial^2}{\partial y^2} \right) + A_z \frac{\partial^2}{\partial z^2} \right] \vec{v} \\ \nabla \cdot \vec{v} = 0 \end{cases}$$

\vec{v}
p } soluções deste conjunto de equações, que podem representar uma grande variedade de escalas de movimento

Interesse do curso → longa Escala

Análise de Escalas

L: comprimento horizontal

H: comprimento vertical

U: velocidade horizontal

W: velocidade vertical

 ω_0 : frequência ω_0^{-1} : tempo

$$\frac{\mu}{U} = \mu'$$

assumir que: $u, v = U(u', v')$, u', v' são não-dimensionais

$$w = W(w')$$

$$x, y = L(x', y')$$

$$z = H \cdot z'$$

$$t = \frac{t'}{\omega_0} = \omega_0^{-1} t'$$

$$p = P \cdot p'$$

Eq da continuidade:

$$\frac{U}{L} \left(\frac{\partial u'}{\partial x} + \frac{\partial v'}{\partial y} \right) + \frac{W}{H} \frac{\partial w'}{\partial z} = 0$$

$\underbrace{\hspace{10em}}_{O(1)} \quad \underbrace{\hspace{10em}}_{O(1)}$

os termos ' são de ordem 1, ou seja, não-dimensionais

$$\boxed{W = \delta \cdot U}$$

$$\frac{U}{L} = \frac{W}{H} \therefore W = \frac{H}{L} \cdot U \therefore \delta = \frac{H}{L} \text{ Razão de aspecto}$$

Ver pg 33...

componente x da eq. do movimento, em os termos de $O(1)$

$$\omega_0 U + \frac{U^2}{L} + \frac{WU}{H} - fU = \frac{1}{\rho} \frac{P}{L} + \frac{A_H}{\rho} \frac{U}{L^2} + \frac{A_z}{\rho} \frac{U}{H^2}$$

das as magnitudes de cada termo da eq. do mov. (x)

Dividindo todos por fU : e considerando $W = \frac{H}{L} \cdot U$

$\frac{\omega_0}{f}$	$\frac{U}{fL}$	$\frac{U}{fL}$	1	$=$	$\frac{1}{\rho} \frac{P}{fUL}$	$\frac{A_H}{\rho f L^2}$	$\frac{A_z}{\rho f H^2}$
\downarrow	\downarrow	\downarrow			\downarrow	\downarrow	\downarrow
magnitude do termo local	mag. dos termos advectivos				mag do termo do grad de pres	mag dos termos de atrito	

DEFINIR:

(1) Número de Rossby $\equiv R_0 = \frac{U}{fL} = \frac{(f^{-1})}{\left(\frac{L}{U}\right)}$ $\Rightarrow \boxed{R_0 = \frac{U}{fL}}$

\nearrow período inercial
 \nwarrow escala de tempo advectiva

Compara o período inercial com o período advectivo do movimento de interesse

Large Escala $\Rightarrow R_0 \ll 1$ (termos nã lineares são pouco importantes)

O N^2 de Rossby pode ser visto tb como a medida dos termos não-lineares

(2) Número de Ekman

horizontal: $E_H = \frac{A_H}{\rho f L^2}$

$E_H = \frac{f^{-1}}{\rho L^2 / A_H}$ } Tempo necessário p/ que o atrito horizontal destrua o movimento

vertical: $E_V = \frac{A_z}{\rho f H^2}$

$E_V = \frac{f^{-1}}{\rho H^2 / A_z}$ } Tempo p/ que o atrito com o fundo destrua o movimento

Consequências:

$\frac{w_0}{f} \ll 1 \Rightarrow$ movimento pode ser considerado estacionário $\left(\frac{\partial \vec{v}}{\partial t} \rightarrow 0\right)$

$Ro = \frac{U}{fL} \ll 1 \Rightarrow$ termos não lineares (advecivos) podem ser desprezados $(\vec{v} \cdot \nabla) \vec{v} \rightarrow 0$

em 1ª ordem $fU \sim \frac{P}{\rho L}$ (geostrofia): correntes e grad. de pressão permanecem

termos dissipativos são mantidos por imposições matemática

\Rightarrow equações do mov. na forma dimensional ficam:

$$1) -f v = -\frac{1}{\rho} \frac{\partial p}{\partial x} + \frac{A_H}{\rho} \nabla_H^2 u + \frac{A_z}{\rho} \frac{\partial^2 u}{\partial z^2}$$

$$\text{obs: } \nabla_H^2 = \frac{\partial^2}{\partial x^2} + \frac{\partial^2}{\partial y^2}$$

$$2) f u = -\frac{1}{\rho} \frac{\partial p}{\partial y} + \frac{A_H}{\rho} \nabla_H^2 v + \frac{A_z}{\rho} \frac{\partial^2 v}{\partial z^2}$$

$$3) 0 = -\frac{1}{\rho} \frac{\partial p}{\partial z} - g + \frac{A_H}{\rho} \nabla_H^2 w + \frac{A_z}{\rho} \frac{\partial^2 w}{\partial z^2}$$

$\xrightarrow{\text{mro}} \text{peq} \Rightarrow$ oceano hidrostático

$$4) \frac{\partial u}{\partial x} + \frac{\partial v}{\partial y} + \frac{\partial w}{\partial z} = 0$$

- movimento linear
 - movimento estacionário
 - aproximação de Boussinesq $\Rightarrow \rho = \text{cte}$
- } aproximações

Para "homogeneizar" essas equações, vamos integrá-las do fundo ao topo do oceano, usando as seguintes definições:

$$M_x = \int_{-H}^0 \rho u dz \rightarrow \text{transporte de volume zonal por u. de área}$$

$$M_y = \int_{-H}^0 \rho v dz \rightarrow \text{transp. de volume meridional p/ u. de área}$$

$$P = \int_{-H}^0 p dz \quad \rightarrow \text{pg 34 da apostila}$$

multiplicando 1^o as eq. por ρ

$$(1) - f M_y = - \frac{\partial P}{\partial x} + \frac{A_H}{\rho} \nabla_H^2 M_x + A_z \int_{-H}^0 \frac{\partial^2 u}{\partial z^2} dz$$

$$(2) - f M_x = - \frac{\partial P}{\partial y} + \frac{A_H}{\rho} \nabla_H^2 M_y + A_z \int_{-H}^0 \frac{\partial^2 v}{\partial z^2} dz$$

$$\left| \begin{aligned} A_z \int_{-H}^0 \frac{\partial}{\partial z} \left(\frac{\partial u}{\partial z} \right) dz &= A_z \left. \frac{\partial u}{\partial z} \right|_{-H}^0 \\ &= \tau_x^0 - \tau_x^{-H} \end{aligned} \right|$$

$$(1) - f M_y = - \frac{\partial P}{\partial x} + \frac{A_H}{\rho} \nabla_H^2 M_x + \tau_x^0 - \tau_x^{-H}$$

3 eq. dinâmicas

$$(2) - f M_x = - \frac{\partial P}{\partial y} + \frac{A_H}{\rho} \nabla_H^2 M_y + \tau_y^0 - \tau_y^{-H}$$

$$(3) P = \rho g h$$

\Rightarrow equilíbrio hidrostático

$$(4) \frac{\partial M_x}{\partial x} + \frac{\partial M_y}{\partial y} + \cancel{w_0} - \cancel{w_{-H}} = 0$$

\rightarrow Equações Homogenizadas

- o oceano se move como uma coluna \Rightarrow Oceano Barotrópico

(4) \rightarrow oceano horizontalmente não-divergente: sem convergência ou divergência

\Rightarrow formando a equação de vorticidade:

$$- \frac{\partial(1)}{\partial y} + \frac{\partial(2)}{\partial x} \Rightarrow \text{Eq. da vorticidade (lista técnica 1 de Métodos)} \left(\rho = \frac{\partial f}{\partial y} \right)$$

$$\rho M_y = \frac{A_H}{\rho} \nabla_H^2 \left(- \frac{\partial M_x}{\partial y} + \frac{\partial M_y}{\partial x} \right) - \frac{\partial \tau_x^0}{\partial y} + \frac{\partial \tau_y^0}{\partial x} - \left(- \frac{\partial \tau_x^{-H}}{\partial y} + \frac{\partial \tau_y^{-H}}{\partial x} \right)$$

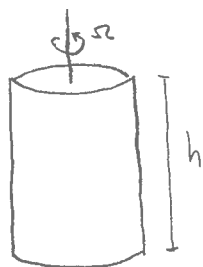
$$\frac{\partial M_y}{\partial x} - \frac{\partial M_x}{\partial y} = \hat{k} \cdot (\nabla \times \vec{M})$$

$$\underset{\text{I}}{\rho M_y} = \hat{k} \left[\underset{\text{II}}{\nabla \times \vec{\tau}^0} - \underset{\text{III}}{\nabla \times \vec{\tau}^{-H}} + \underset{\text{IV}}{\frac{A_H}{\rho} \nabla_H^2 (\nabla \times \vec{M})} \right]$$

$$\text{curl } \vec{\tau}^0 = \frac{\partial \tau_y^0}{\partial x} - \frac{\partial \tau_x^0}{\partial y}$$

\hookrightarrow componente vertical do rotacional

pg 36 a

VORTICIDADE POTENCIAL $f \rightarrow$ Vorticidade Planetária $J \rightarrow$ Vorticidade Relativa = $\frac{\partial v}{\partial x} - \frac{\partial u}{\partial y}$

Devido ao cisalhamento horizontal

 $\xi_a = f + J =$ Vorticidade Absoluta

5) $\frac{J_a}{h} \rightarrow$ Vorticidade Potencial (a)

$\frac{dQ}{dt}$ = vorticidade produzida pelo vento + vorticidade associada ao + ...
 ... + vorticidade associada ao cis. atrito de fundo

horizontais

$$\frac{d(f+J)}{dt} \frac{1}{h} \quad \frac{J}{f} \ll R_o \rightarrow J \ll f \quad (J \text{ pode ser desprezada})$$

$$\frac{dQ}{dt} \approx \frac{d}{dt} \left(\frac{f}{h} \right) = \frac{\partial f}{\partial t} + u \frac{\partial f}{\partial x} + v \frac{\partial f}{\partial y} \Big|_{\beta \approx 0}$$

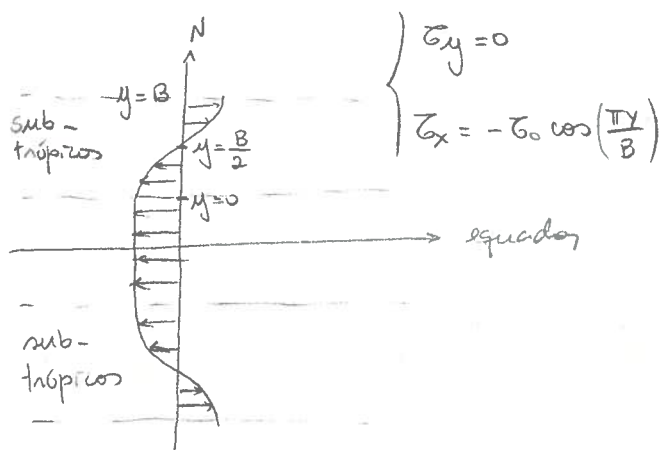
$$\frac{dQ}{dt} = \beta v \Rightarrow \int_{-h}^0 \rho \beta v dz = \beta M_y \Rightarrow \text{vide eq. (3.43) da apostila}$$

REGIME DE SVERDRUP \rightarrow Balanço entre I e II

$$M_y = \frac{1}{\beta} \text{curl } \tau^0$$

$$\left(\int_{x_0}^x \frac{\partial M_x}{\partial x} dx = - \int_{x_0}^x \frac{\partial M_y}{\partial y} dx = - \int_{x_0}^x \frac{1}{\beta} \frac{\partial}{\partial y} \text{curl } \tau^0 dx \right)$$

$$M_y = \frac{1}{\beta} \left(\frac{\partial \tau_x^0}{\partial x} - \frac{\partial \tau_y^0}{\partial y} \right) \therefore M_y = - \frac{\pi}{\beta B} \sin \frac{\pi y}{B}$$

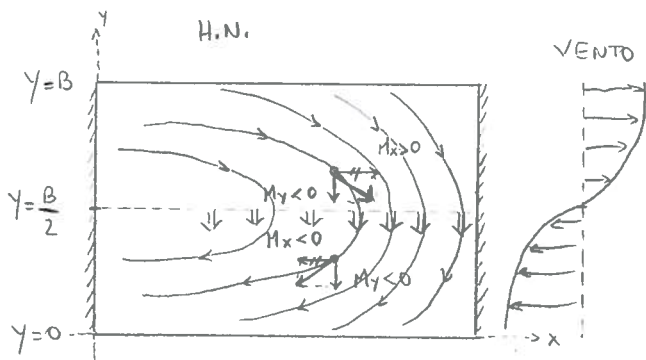
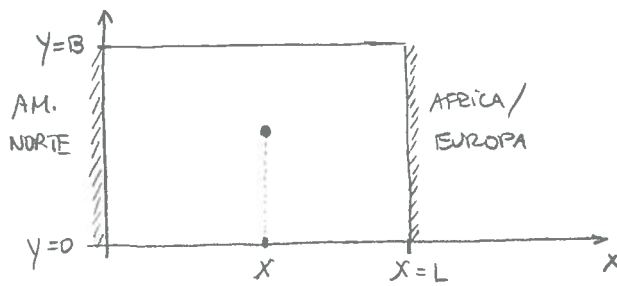


$$\int_{x_0}^x \frac{\partial M_x}{\partial x} dx = \frac{\pi^2}{\beta B^2} \int_{x_0}^x \cos\left(\frac{\pi y}{B}\right) dx$$

$$\int_x^L \frac{\partial M_x}{\partial x} dx = \frac{\pi^2}{\beta B^2} \cos\left(\frac{\pi y}{B}\right) \int_x^L dx$$

$$M_x \Big|_{x=L}^0 - M_x \Big|_{x=x} = \frac{\pi^2}{\beta B^2} \cos\left(\frac{\pi y}{B}\right) [L - x]$$

$$M_x = \frac{\pi^2}{\beta B^2} \cos\left(\frac{\pi y}{B}\right) (x - L)$$



Se a integração for feita entre x e 0 , o padrão de circulação muda: fig 3.6 pag 40 (apostila)

Paradoxo devido a possibilidade de assumir apenas 1 condição de contorno de uma eq. diferencial de 1ª ordem. Mas como já se conhecia a circulação assume-se a 1ª redução sendo correta. Isto ocorreu porque Sverdrup escolheu apenas 2 termos da eq. de conservação de V.P.

O Atnito deve ser incluído \Rightarrow Soluções de STOMMEL que incluam mais condições de contorno, definindo a solução 1 e explicando a intensificação da borda OESTE.

MODELO DE STOMMEL

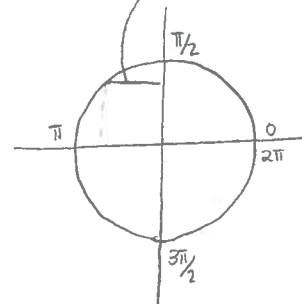
parametrização do atrito

BALANÇO: $\beta M_y = \text{curl } \tau^0 - \text{curl } \tau^{-H}$

faço τ (faço função linear de w)

$$\begin{cases} M_y < 0 \\ \cos\left[\frac{\pi}{2} \pi\right] > 0 \end{cases}$$

$$\begin{cases} (x - L) < 0 \\ \cos\left[\frac{\pi}{2} \pi\right] < 0 \end{cases} \Rightarrow M_x > 0$$



$$\begin{cases} (x - L) < 0 \\ \cos\left[0 \frac{\pi}{2}\right] > 0 \end{cases} \Rightarrow M_x < 0$$

Stommel Assumiu uma lei de aneto linear para o atrito (8)
de funcao: $\tau = k\sigma$ \rightarrow coef. de aneto linear

$$\beta M_y = \text{curl } \sigma^0 - k \text{ curl } \vec{H}$$

Definir uma funcao de corrente tal que:

$$\left. \begin{aligned} M_x &= -\frac{\partial \psi}{\partial y} \\ M_y &= \frac{\partial \psi}{\partial x} \end{aligned} \right\} \begin{array}{l} \text{Todo campo mais divergente pode ser escrito} \\ \text{em termos de uma funcao de corrente} \end{array}$$

$$\beta \frac{\partial \psi}{\partial x} = \text{curl } \sigma^0 - k \left(\frac{\partial^2 \psi}{\partial x^2} + \frac{\partial^2 \psi}{\partial y^2} \right)$$

$$\boxed{\beta \frac{\partial \psi}{\partial x} = \text{curl } \sigma^0 - k \nabla^2 \psi} \quad \text{Eq. dif. em } \psi$$

$$\boxed{\nabla^2 \psi + \frac{\beta}{k} \frac{\partial \psi}{\partial x} = \frac{1}{k} \text{curl } \sigma^0}$$

Solucao no paper Stommel 1949
escrita na pagina 42, eq. (3.6)

1/8/06

1950: MUNK

Eq. de cons. de vorticidade:

$$\beta M_y = \text{curl } \sigma^0 - \text{curl } \sigma^H + \frac{A_H}{\rho} \nabla^2 \text{curl } M$$

$$\text{MUNK: } \beta M_y = \text{curl } \sigma^0 + \frac{A_H}{\rho} \nabla^2 \text{curl } M$$

$$M_x = -\frac{\partial \psi}{\partial y}$$

$$M_y = \frac{\partial \psi}{\partial x}$$

$$\boxed{\beta \frac{\partial \psi}{\partial x} = \text{curl } \sigma^0 + \frac{A_H}{\rho} \nabla^4 \psi}$$

$$\text{onde } k = \left(\frac{\beta}{A_H} \right)^{1/3} = \sigma_H^{-1}$$

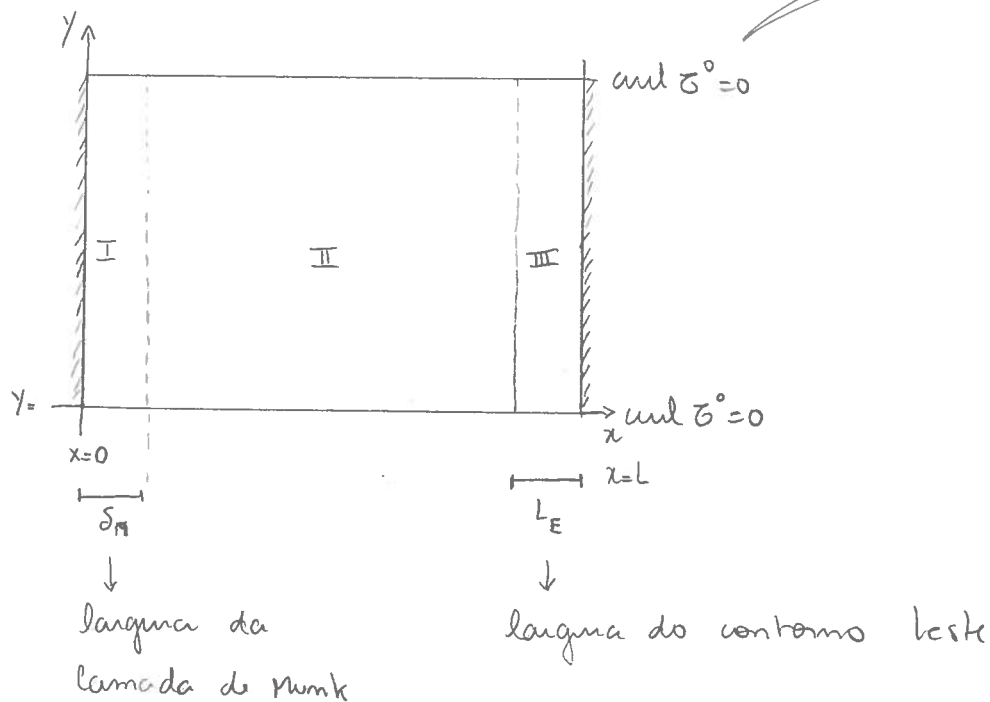
$$\text{Solucao: } X(x) = \left(1 - \frac{k}{L} \right) \left[\frac{2}{\sqrt{3}} e^{-\frac{kx}{2}} \cos \left(\frac{\sqrt{3}}{2} kx - \frac{\pi}{6} \right) + 1 \right] - \frac{1}{kL} \left[kx - e^{-k(L-x)} \right]$$

$$\psi(x,y) = -\frac{L}{\alpha} X(x) \cdot \frac{\partial \sigma^0}{\partial x}$$

Velocidades grandes próximas
ao contorno oeste \Rightarrow atrito
horizontal é importante

Interpretação da Solução de Munk

Bacia sub-tropical do A
N



Region II: $2\delta_n \ll x \ll L$

A solução para este x pode ser aproximada p/ $X(x) = \frac{L-x}{b}$

$\Rightarrow \psi(x,y) = -\frac{1}{\beta} \frac{\partial \zeta}{\partial y} (1-x)$ = a solução de Sverdrup

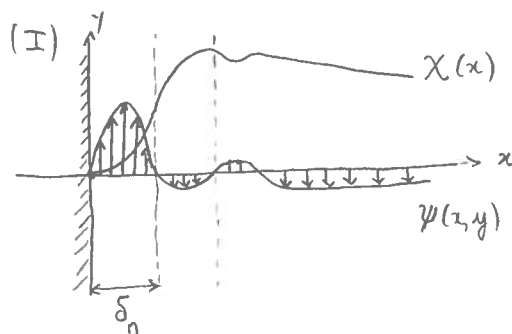
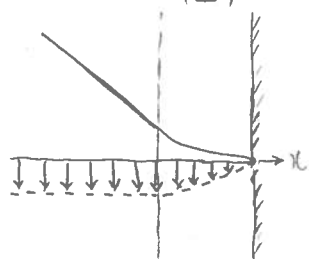
Região III: $x \rightarrow L \Rightarrow \chi(x) = 1 - \frac{x}{L} + \frac{e^{-k(L-x)}}{kL} - \frac{1}{kL} \quad (\chi(L)=0) \Rightarrow \psi=0$

Region I : $x < 2\delta_n$

$$\chi(x) = \frac{2}{\sqrt{3}} e^{-kx/2} \cdot \cos\left(\frac{\sqrt{3}}{2} kx - \frac{\pi}{6}\right) + 1$$

recordando: $\frac{\sqrt{3}}{2}(x-1) = e^{-kx/2} \cos\left(\frac{\sqrt{3}}{2}kx - \frac{\pi}{6}\right)$, lembrando que $M_y = \frac{\partial \psi}{\partial x}$

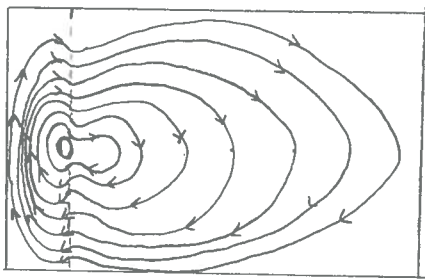
Plotando isto: $\chi(x)$ —

 $\psi(x,y) \dots$ 

∂n

H.V.

9



* O Modelo de Munk previu a existência de uma região de recirculação próxima ao contorno oeste, eventualmente confirmado por observações

P P

Estimando δ_n : $[\beta \eta] = [\text{curl } \zeta] + \left[\frac{A_H}{\rho} \nabla^2 \text{curl } \eta \right]$ (balanço de Munk)

próximo ao contorno oeste ($x < \delta_n$) $[\beta \eta] \approx \left[\frac{A_H}{\rho} \nabla^2 \text{curl } \eta \right]$

$$\delta_n = \sqrt[3]{\frac{A_H}{\beta}} \quad (\text{checar } p_7 \text{ o } \rho \text{ saindo})$$

$$\beta = \frac{A_H}{\rho} \frac{1}{\delta_n^3}$$

$$\left. \begin{array}{l} R_0 \ll 1 \\ E_H \ll 1 \\ E_V \ll 1 \end{array} \right\}$$

Não é válido para o contorno oeste

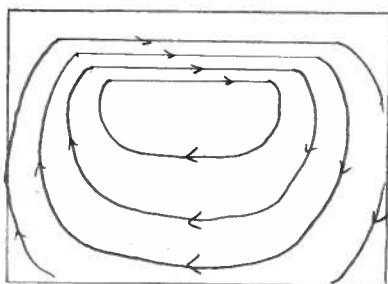
\Downarrow

A partir daí, começou um interesse por incluir os termos não-lineares nos modelos \Rightarrow anos 1950

(1) Fofonoff: Modelo Inercial, não-linear, atrito desprezado

Solução:

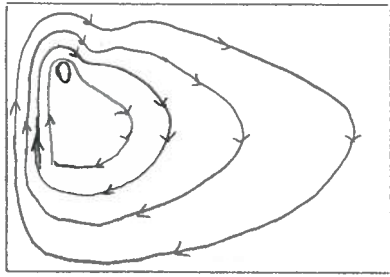
(Região sub-tropical no Atlântico Norte)



← correntes mais intensas ao Norte

(3) MOORE 1963 → Intensificações à oeste e à Norte

considerou-se atrito e não-linearidade



1963 em diante ⇒ não temos mais modelos analíticos, começa a era dos Modelos Numéricos

Voltando um pouco:

(2) CHARNEY ⇒ na apostila

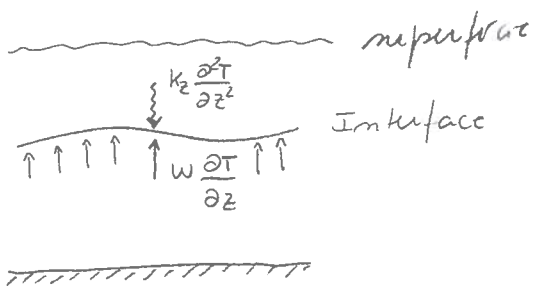
— 3/08/2006

CIRCULAÇÃO ABISSAL

Hipótese de Stommel para a manutenção da Termoclina

$$\frac{dT}{dt} = k_H \nabla^2 T + k_z \frac{\partial^2 T}{\partial z^2} \quad \therefore \quad \cancel{\frac{\partial T}{\partial t}} + \cancel{\vec{v}_H \cdot \nabla_H T} + w \frac{\partial T}{\partial z} = \cancel{k_H \nabla^2 T} + k_z \frac{\partial^2 T}{\partial z^2}$$

eq. da conservação de temperatura



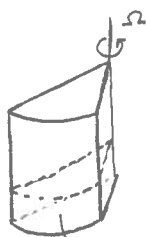
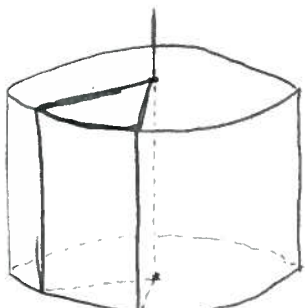
A manutenção da termoclina se deve ao equilíbrio entre difusão vertical de temperatura e advecção vertical de temperatura

$$w \frac{\partial T}{\partial z} = k_z \frac{\partial^2 T}{\partial z^2}$$

Ele admitiu fontes de água profunda

TEORIA DE STOMMEL E ARONS (semi-empírica)

ATL-NORTE VISTO DE CIMA



Equações atuantes numa pequena profundidade

$$(1) -fv = -\frac{1}{\rho} \frac{\partial p}{\partial x} \quad \int_{\text{fundo}}^{\text{topo da cam profunda}} () dz$$

$$(2) fu = -\frac{1}{\rho} \frac{\partial p}{\partial y}$$

$$(3) \frac{\partial u}{\partial x} + \frac{\partial v}{\partial y} + \frac{\partial w}{\partial z} = 0 \Rightarrow H \cdot \left(\frac{\partial u}{\partial x} + \frac{\partial v}{\partial y} \right) + w_{\text{topo}} - w_{\text{fundo}} = 0$$

$$f \int_{-H}^H w dz = \frac{1}{\rho} \int_{-H}^H \frac{\partial p}{\partial x} dz \dots$$

$$f \int_{-H}^H u dz = -\frac{1}{\rho} \int_{-H}^H \frac{\partial p}{\partial y} dz \dots$$

Combinaando tudo e derivando uma eq. de vorticidade,

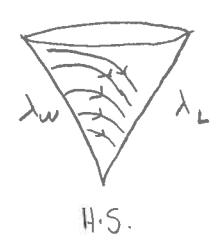
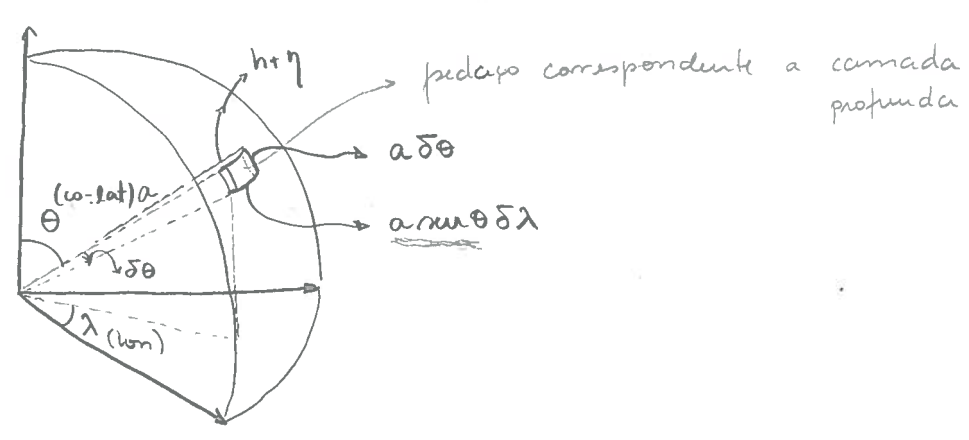
$$M_y = \frac{f}{\beta} w_0 \quad \text{No H.N., } f > 0, \beta > 0, w_0 > 0 \Rightarrow \boxed{M_y > 0}, \text{ ou seja, para Norte}$$

$$M_x = 2w_0(L-x), \text{ onde } L \text{ é a largura total da bacia}$$

$$w_0 > 0, L-x > 0 \Rightarrow \boxed{M_x > 0}, \text{ ou seja, para leste}$$



Coordenadas Esféricas



Equações atuantes em coordenadas esféricas => próxima lista

Está no artigo do Stommel & Arons

✓ LISTA #3 Cai uma questão da prova em relação a 1350

① Mostrar que as equações do balanço geostrofico e da continuidade em coordenadas esféricas, são: bize (utilizar a eq. hidrostática)

$$(1) 2\Omega \cos \theta v = \frac{g}{a \sin \theta} \frac{\partial \eta}{\partial \lambda}$$

$$(2) 2\Omega \cos \theta u = -\frac{g}{a} \frac{\partial \eta}{\partial \theta}$$

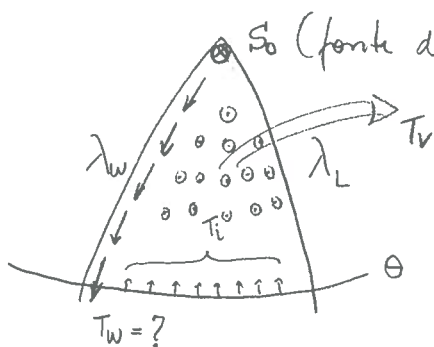
$$(3) \vec{\nabla} \cdot \vec{v} \Rightarrow \frac{1}{a \sin \theta} \left[\frac{\partial u}{\partial \lambda} - \frac{\partial}{\partial \theta} (v \sin \theta) \right] + \frac{\partial w}{\partial z} = 0$$

② Mostrar que a solução desse sistema é:

$$v = \frac{a w_0}{h} \cot \theta$$

$$u = \frac{2 w_0 a}{h} \sin \theta (\lambda_L - \lambda)$$

③ Encontrar a expressão para a corrente de contorno este para uma fonte no pólo norte



$$dx = a \sin \theta d\lambda$$

$$T_i = \int_{\lambda_w}^{\lambda_L} h v \cdot dx \Rightarrow T_i = \int_{\lambda_w}^{\lambda_L} h v a \sin \theta d\lambda$$

$$T_v = \int_{\lambda_w}^{\lambda_L} \int_{\theta}^0 w_r (a \sin \theta d\lambda) a d\theta$$

$$T_w + T_v = S_0 + T_i$$

$$T_w = S_0 + T_i - T_v$$

④ Repetir para cada um dos casos a seguir

(a) fonte no canto inferior esquerdo

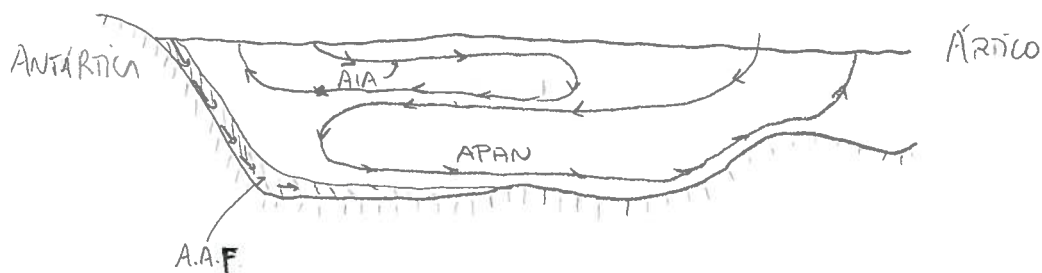
(b) bacia limitada por dois meridianos e dois paralelos (sem fontes)

(c) bacia fechada por paralelos ao sul e ao norte do equador (s/ fontes)

⑤ Comentar como fica a circulação profunda em todo o oceano.

11

22/08/2006



MODELO DE KUO & VERONIS

pg 83 (apostila)

☺ No modelo de Stommel & Arons, a circulação é:

$$\begin{cases} u = \frac{2W_0 a}{h} \sin \theta (\lambda_e - \lambda_w) \\ v = \frac{aW_0}{h} \cot \theta \end{cases}$$

Como comprovar isso de forma prática?

- Medir velocidade nessa prof. é difícil

Considere a concentração de um material passivo $C(x,y)$.

A equação da conservação desse indivíduo é:

$$\frac{dC}{dt} = \text{fontes} + \text{sorvedouros} \quad \therefore \quad \frac{\partial C}{\partial t} + \vec{v} \cdot \nabla C = \dots$$

↳ Integrar no espaço para obter a solução

LISTA 4 Última

Utilizando o campo de velocidades do modelo de Stommel & Arons obter a distribuição espacial de $C=C(x,y)$ nos oceanos mundiais

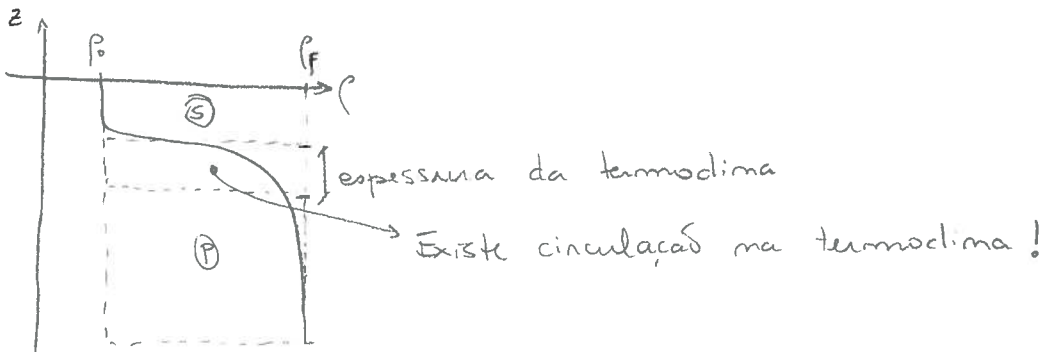
DICA: Seguir o paper do Kuo & Veronis, fazer um diagnóstico

- Sem dar muita ênfase a matemática → centrar na interpretação.

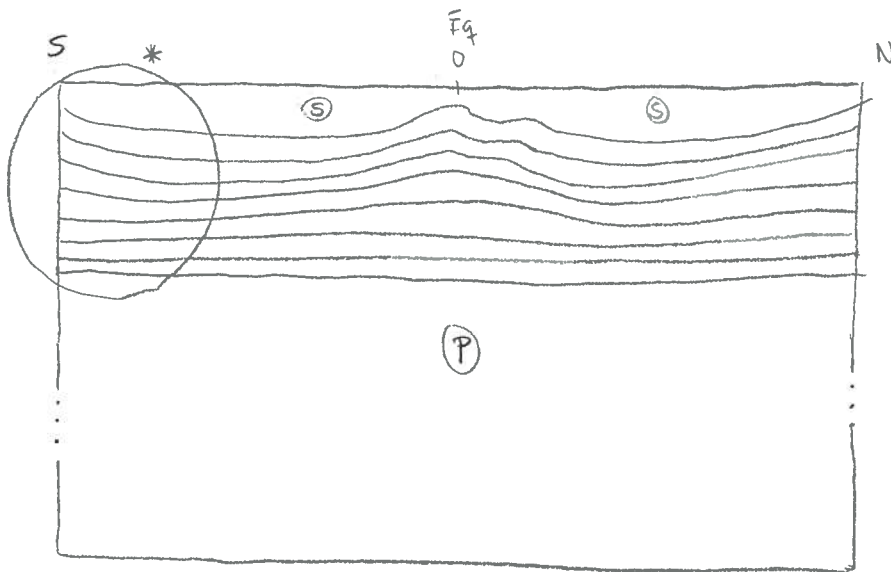
Uma boa fonte tb é: Evolution of Physical Oceanography
Neulman & Pearson

Como resultado, dizer n o modelo de Stommel e Arons é robusto.

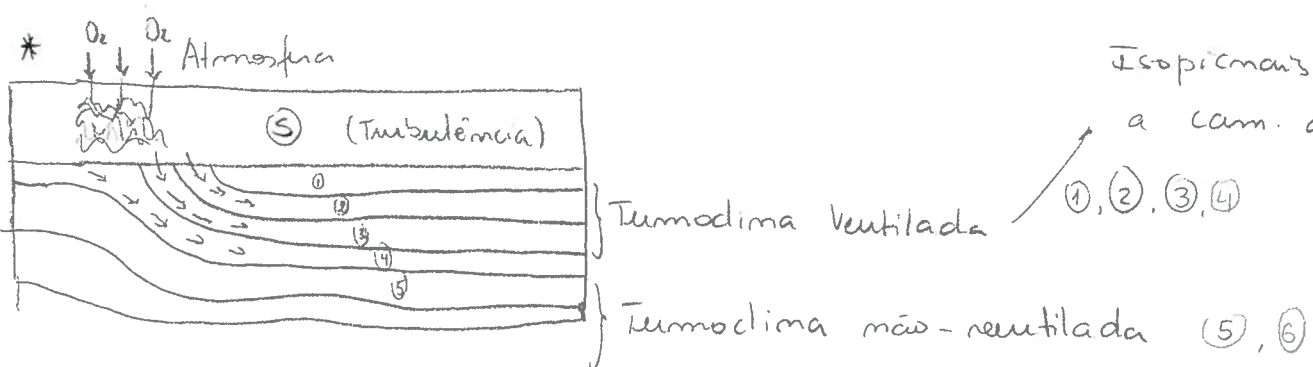
TERMOCLINA \Rightarrow sem abranças na parte matemática

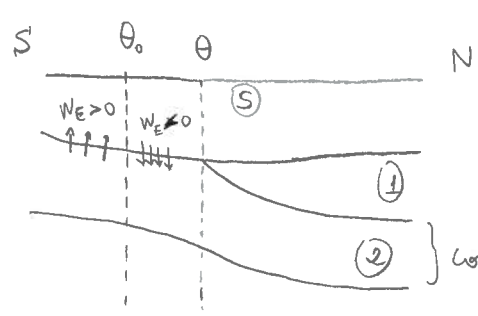


No mundo real



The ventilated Thermocline
(..., Schott, ...)

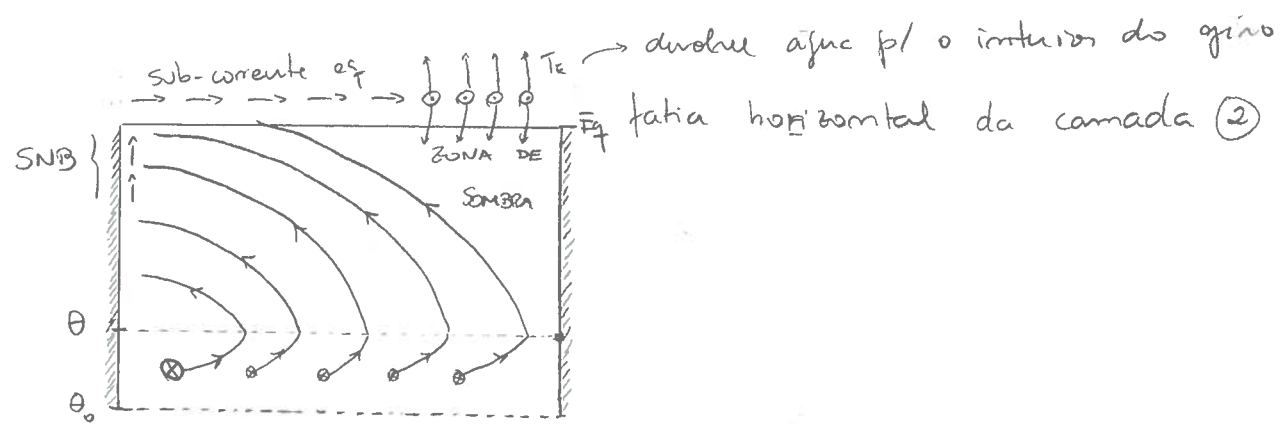




} como é o fluxo nessa camada?

Exercitamos
afunda, retornando a ténica

Resultado do Estudo (Termoclíma Ventilada)



29/8/2006

TRABALHO FINAL → p/ 14/07

$$T_{\text{de equilibrio}} \Rightarrow T_{\text{recebida}} = T_{\text{emitida}}$$

$$E = \sigma T^4$$



Recebe e Emite Radiação

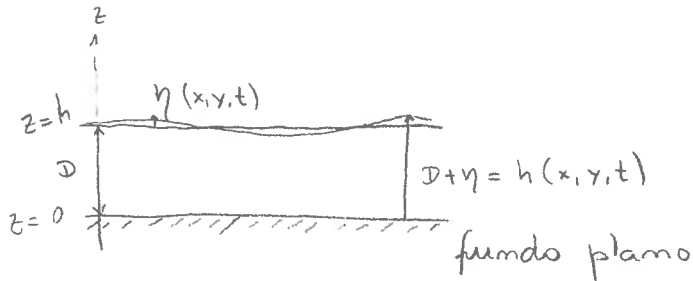
ONDAS EQUATORIAIS

ONDAS NAO - GEOSTRÓFICAS

Ref: Pedlosky 3.1-3.9

Gill 10.3 - 10.5

Escala Horizontal \gg Escala vertical



$D = \rho_0 \cdot \text{média}$

$$h(x,y,t) = D + \eta(x,y,t)$$

Equações do movimento

Assumindo aproximação hidrostática

$$\frac{du}{dt} - f v = -\frac{1}{\rho} \frac{\partial p}{\partial x}$$

$$\frac{dw}{dt} \rightarrow 0$$

$$\frac{dv}{dt} + f u = -\frac{1}{\rho} \frac{\partial p}{\partial y}$$

$$\frac{dw}{dt} = -\frac{1}{\rho} \frac{\partial p}{\partial z} - g \longrightarrow g = -\frac{1}{\rho} \frac{\partial p}{\partial z}$$

$$\frac{\partial u}{\partial x} + \frac{\partial v}{\partial y} + \frac{\partial w}{\partial z}$$

Considere a pressão dinâmica $\hat{p} = \frac{p}{\rho}$

$$\frac{\partial \hat{p}}{\partial x} = \frac{\partial h}{\partial x} \quad \text{e} \quad \frac{\partial \hat{p}}{\partial y} = \frac{\partial h}{\partial y}$$

$$\left(\frac{\partial}{\partial t} + u \frac{\partial}{\partial x} + v \frac{\partial}{\partial y} \right) u - f v = -g \frac{\partial h}{\partial x} \quad (1)$$

$$\left(\frac{\partial}{\partial t} + u \frac{\partial}{\partial x} + v \frac{\partial}{\partial y} \right) v + f u = -g \frac{\partial h}{\partial y} \quad (2)$$

$$\left(\frac{\partial u}{\partial x} + \frac{\partial v}{\partial y} \right) h + w(z=h) = 0 \quad \Rightarrow \quad \int_{z=0}^{z=D+\eta} (\text{eq da continuidade}) dz$$

$$w(z=h) = \frac{dh}{dt} = \frac{d\eta}{dt} \quad \begin{matrix} \nearrow \\ \frac{\partial \eta}{\partial t} + u \frac{\partial \eta}{\partial x} + v \frac{\partial \eta}{\partial y} \\ \searrow \\ \text{desprezados} \end{matrix}$$

$$\Rightarrow \left(\frac{\partial u}{\partial x} + \frac{\partial v}{\partial y} \right) h + \frac{d\eta}{dt} = 0$$

$$\frac{\partial \eta}{\partial t} + h \left(\frac{\partial u}{\partial x} + \frac{\partial v}{\partial y} \right) = 0$$

linearizando tb as equações (1) e (2):

$$\begin{cases} \frac{\partial u}{\partial t} - f v = -g \frac{\partial \eta}{\partial x} \\ \frac{\partial v}{\partial t} + f u = -g \frac{\partial \eta}{\partial y} \\ \frac{\partial \eta}{\partial t} + D \left(\frac{\partial u}{\partial x} + \frac{\partial v}{\partial y} \right) = 0 \end{cases} \Rightarrow \frac{\partial}{\partial t} \left(\frac{\partial^2}{\partial t^2} + f^2 \right) \eta = g D \frac{\partial}{\partial t} (\nabla^2 \eta)$$

Assumir: $y=L$ $\eta(y=L)=0$

$y=0$ $\eta(y=0)=0$

$$\eta(x, y, t) = A(y) \cdot e^{i(kx - \sigma t)}$$

↓

Substituindo na equação de onda

$$\frac{\partial^2 A}{\partial y^2} + \left(\frac{\sigma^2 - f^2}{gD} - k^2 \right) A = 0$$

usando as condições de contorno $\eta_L = \eta_0 = 0$

$$\frac{\partial A}{\partial y} + \frac{fk}{\sigma} \cdot A = 0 \text{ em } y=0, L$$

Dois casos para analisar:

$$(1) \alpha^2 = \frac{\sigma^2 - f^2}{gD} - k^2 > 0 \rightarrow A(y) = a \sin(\alpha y) + b \cos(\alpha y)$$

$$(2) \alpha^2 < 0 \rightarrow A(y) = a e^{-m y} + b e^{m y}, \quad m \in \mathbb{R}$$

Caso (1) $A(y) = a \sin(\alpha y) + b \cos(\alpha y)$

Relações de dispersão

$$\Rightarrow (\sigma^2 - f^2)(\sigma^2 - gDk^2) \sin(\alpha L) = 0$$

(i) ~~$\sigma^2 = f^2 \Rightarrow \sigma = \pm f$~~ (onda inercial)

(ii) ~~$\sigma^2 = \pm \sqrt{gD} \cdot k$~~ \Rightarrow (ondas de kelvin)

(iii) $\sin(\alpha L) = 0 \Rightarrow \alpha = \frac{n\pi}{L}, n = 1, 2, 3, \dots$

$$\Rightarrow \sigma = \pm \left[f^2 + gD \left(k^2 + n^2 \frac{\pi^2}{L^2} \right) \right]^{1/2} \Rightarrow \text{(onda de Poincaré)}$$

→ Onda de gravidade afetada pela rotação

para $d^2 > 0 \Rightarrow$ apenas ondas de Poincaré

Caso (2) $A(y) = ae^{-my} + be^{my}$

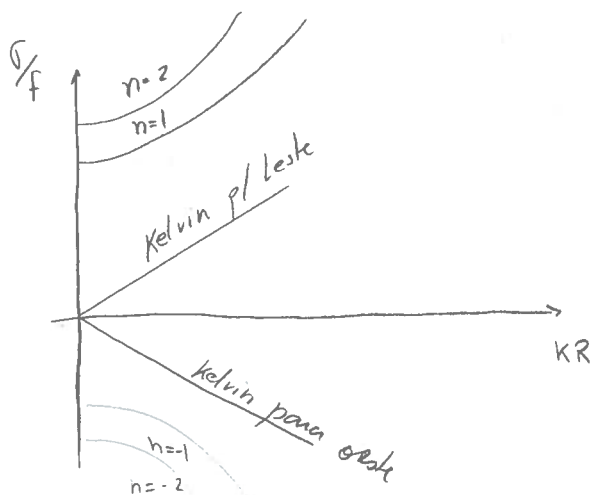
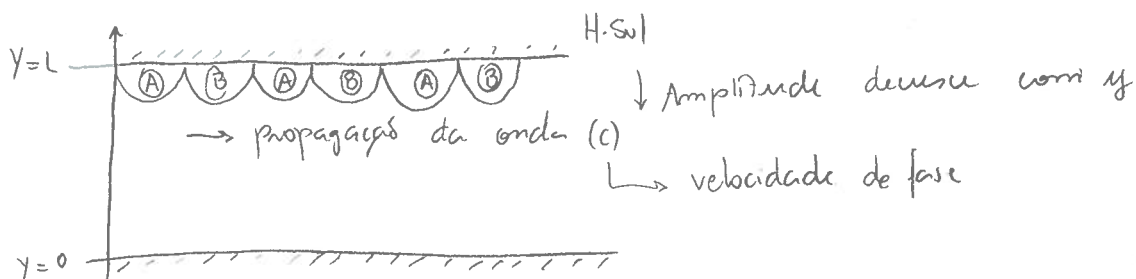
$d^2 < 0$

$(\sigma^2 - f^2)(\sigma^2 - gDk^2) = 0$

$\left\{ \begin{array}{l} \text{ondas de kelvin} \\ \text{ondas inerciais} \end{array} \right.$

ONDA DE KELVIN

$\sigma = -\sqrt{gD} k \Rightarrow A(y) = e^{f(y-L)/\sqrt{gD}}$



$R_0 = \sqrt{\frac{gD}{f}}$

ONDAS EQUATORIAIS

Compare frequência das ondas de Poincaré com ondas de Rossby

$$\sigma^2 = f^2 + gD(k^2 + l^2) \geq f^2 \quad \text{sub-inercial} \rightarrow \text{Poincaré}$$

$$\sigma^2 = \frac{\beta^2 k^2}{(k^2 + l^2 + f^2/gD)^2} \leq \frac{\beta^2 gD}{f^2} \quad \text{supra-inercial} \rightarrow \text{Rossby}$$

Em latitudes médias, $\frac{\beta \sqrt{gD}}{f} \ll 1$

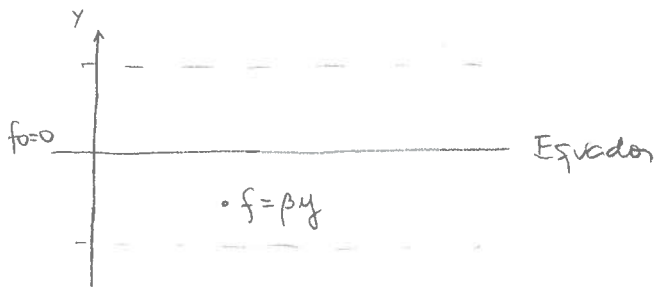
Próximas ao Equador, $f \rightarrow 0$ e essas frequências se aproximam

Eq. do mov. / Boussinesq / Hidrostática / s/mov. no estado básico / plano

$$1) \frac{\partial u}{\partial t} - \beta y v = -\frac{\partial \hat{p}}{\partial x} \quad 4) \frac{\partial \hat{p}}{\partial t} + N^2 w \quad u, v, w, p$$

$$2) \frac{\partial v}{\partial t} + \beta y u = -\frac{\partial \hat{p}}{\partial y}$$

$$3) \frac{\partial u}{\partial x} + \frac{\partial v}{\partial y} + \frac{\partial w}{\partial z} = 0$$



$f = \frac{2\pi}{T} = \frac{2\pi}{24h}$
Equador

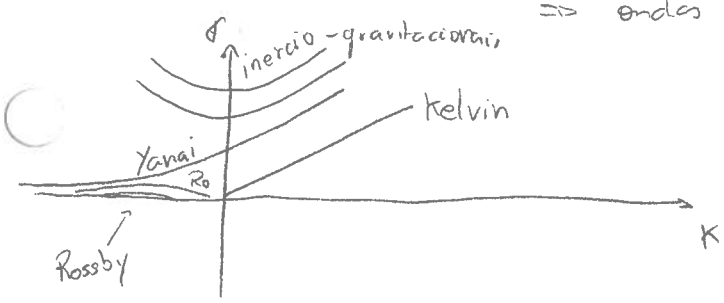
Combinações as equações (matemática complicada)

Relações de dispersão

$$\left(\sigma + \frac{KN}{m}\right) \left(\sigma^2 - \frac{KN\sigma}{m} - \frac{N\beta}{m}\right) = 0$$

$$\sigma + \frac{KN}{m} = 0 \Rightarrow \text{onda de Kelvin p/ leste} \quad \begin{cases} \sigma - \frac{KN}{m} = 0 & \text{permitido!} \\ \sigma + \frac{KN}{m} = 0 & \text{não permitido!} \end{cases}$$

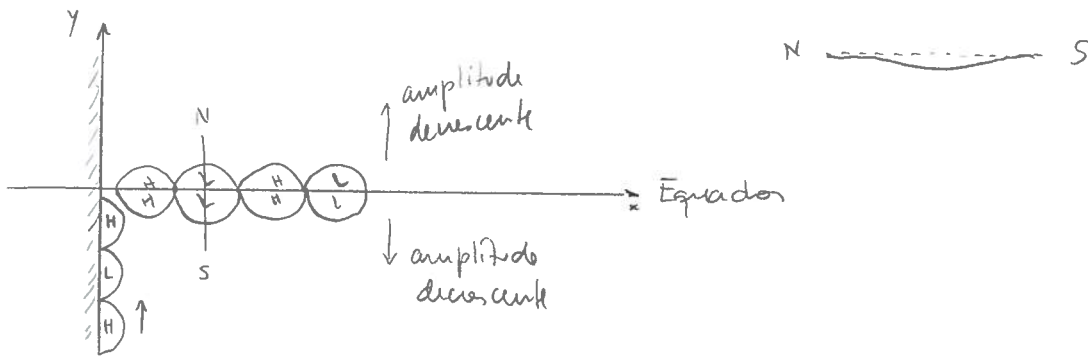
$$\sigma = \pm \left(\frac{k^2 N^2}{m^2} + (2j+1) \frac{N\beta}{m} \right)^{1/2} \Rightarrow \text{análogo a onda de Poincaré} \Rightarrow \text{ondas de Yanai}$$



4 ondas equatoriais

- Inercia-grav.
- Yanai
- Rossby
- Kelvin

Onda de kelvin Equatorial



Onda de Yanai Equatorial

